

### Übung 1. Sokhotski-Plemelj Formel

Es gilt:

$$\frac{1}{x \pm i\varepsilon} = \frac{x \mp i\varepsilon}{x^2 + \varepsilon^2} = \frac{x}{x^2 + \varepsilon^2} \mp i\pi \frac{\varepsilon/\pi}{x^2 + \varepsilon^2}. \quad (\text{L.1})$$

In Serie 5, Übung 1 haben wir gezeigt, dass für  $\varepsilon \rightarrow 0$ ,  $\varepsilon/(\pi(x^2 + \varepsilon^2)) \rightarrow \delta(x)$ . Es bleibt zu zeigen, dass der erste Term in (L.1) zum Hauptwert konvergiert. Gegeben eine Test-Funktion  $f$ , kann man schreiben,

$$\int_{-\infty}^{\infty} \frac{x}{x^2 + \varepsilon^2} f(x) dx = \int_{\mathbb{R} \setminus [-\eta, \eta]} \frac{x^2}{x^2 + \varepsilon^2} \frac{f(x)}{x} dx + \int_{-\eta}^{\eta} \frac{x^2}{x^2 + \varepsilon^2} \frac{f(x)}{x} dx, \quad (\text{L.2})$$

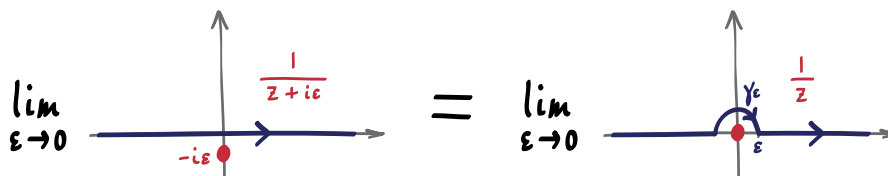
für  $\eta > 0$  beliebig. Für ein kleines  $\eta$  kann man  $f(x)$  im zweiten Term entwickeln als  $f(x) = f(0) + xf'(0) + \dots$ ; somit folgt

$$\lim_{\varepsilon \rightarrow 0} (\text{L.2}) = \int_{\mathbb{R} \setminus [-\eta, \eta]} \frac{f(x)}{x} dx + \lim_{\varepsilon \rightarrow 0} \left( f(0) \int_{-\eta}^{\eta} \frac{x}{x^2 + \varepsilon^2} dx + f'(0) \int_{-\eta}^{\eta} \frac{x^2}{x^2 + \varepsilon^2} dx + \dots \right). \quad (\text{L.3})$$

Das erste Integral im Klammer ist genau Null, da der Integrand antisymmetrisch ist. Im Limes  $\varepsilon \rightarrow 0$  verhalten sich die anderen Termen im Klammer schön und divergieren nicht, lassen jedoch Termen der Ordnung  $O(\eta)$ . Diese Rechnung gilt für ein beliebiges (klein genug)  $\eta > 0$ ; wenn wir  $\eta \rightarrow 0$  nehmen, dann bleibt nur das erste Term in (L.3), der die Definition des Cauchyschen Hauptwert entspricht. Schlussendlich vereinfacht sich (L.1) zu

$$\frac{1}{x \pm i\varepsilon} = P \frac{1}{x} \mp i\pi \delta(x). \quad (\text{L.4})$$

Die Sokhotski-Plemelj kann man auch so verstehen, indem dass im Limes  $\varepsilon \rightarrow 0$  die Integration auf der reellen Achse über die regularisierte Funktion dasselbe ergibt wie die Integration der nicht-regularisierten Funktion auf einem Weg, der den Pol vermeidet:



Intuitiv ist der Beitrag zur Integral vom Pol in einer oder der anderer Art berücksichtigt. (Es sollen eigentlich jeweils das  $1/(z + i\varepsilon)$  und  $1/z$  auf eine Test-Funktion angewendet, aber intuitiv für kleines  $\varepsilon$  sieht lokal die Test-Funktion um 0 wie eine Konstante aus.)

Wenn wir das Integral gemäss der rechten Seite der Figur durchführen, dann finden wir

$$\begin{aligned} \lim_{\varepsilon \rightarrow 0} \left[ \int_{-\infty}^{-\varepsilon} \frac{f(x)}{x} dx + \int_{\gamma_\varepsilon} \frac{f(z)}{z} dz + \int_{\varepsilon}^{\infty} \frac{f(x)}{x} dx \right] \\ = (P \frac{1}{x}) [f] + \lim_{\varepsilon \rightarrow 0} \int_{\pi}^0 d\varphi i\varepsilon e^{i\varphi} \frac{f(\varepsilon e^{i\varphi})}{\varepsilon e^{i\varphi}} \\ = (P \frac{1}{x}) [f] - i \int_0^\pi d\varphi \lim_{\varepsilon \rightarrow 0} f(\varepsilon e^{i\varphi}) = (P \frac{1}{x}) [f] - i\pi f(0). \end{aligned} \quad (\text{L.5})$$

Sollte der Nenner  $1/(x - i\epsilon)$  im ursprünglichen Integral (auf der linken Seite der Figur) sein, dann wäre der ursprüngliche Pol bei  $z = +i\epsilon$  und wir hätten ein  $\gamma_\epsilon$  wählen müssen, das *unter* dem Pol entlangläuft. Im diesen Fall erhält man in Gl. (L.5) den Wert  $(P\frac{1}{x})[f] + i\pi f(0)$ . Wir finden dann wieder jeweils die Sokhotski-Plemelj Formel,

$$\frac{1}{x \pm i\epsilon} = P\frac{1}{x} \mp i\pi\delta. \quad (\text{L.6})$$

## Übung 2. Radialteil des Laplace-Operators

(a) Man rechnet direkt

$$\begin{aligned} \left(\partial_r^2 + \frac{2}{r}\partial_r\right) \frac{u}{r^\alpha} &= \partial_r \left(\frac{u'}{r^\alpha} - \frac{\alpha u}{r^{\alpha+1}}\right) + \frac{2}{r} \left(\frac{u'}{r^\alpha} - \frac{\alpha u}{r^{\alpha+1}}\right) \\ &= \frac{u''}{r^\alpha} - \frac{\alpha u'}{r^{\alpha+1}} - \frac{\alpha u'}{r^{\alpha+1}} + \frac{\alpha(\alpha+1)u}{r^{\alpha+2}} + \frac{2u'}{r^{\alpha+1}} - \frac{2\alpha u}{r^{\alpha+2}} \\ &= \frac{u''}{r^\alpha} + \frac{(2-2\alpha)u'}{r^{\alpha+1}} + \frac{\alpha(\alpha-1)u}{r^{\alpha+2}}. \end{aligned} \quad (\text{L.7})$$

Wir merken, dass für  $\alpha = 1$  die zwei letzten Terme verschwinden und es folgt bleibt

$$\Delta_r R(r) = \frac{u''}{r}. \quad (\text{L.8})$$

(b) Analog zur vorherigen Teilaufgabe rechnen wir

$$\begin{aligned} \left(\partial_r^2 + \frac{1}{r}\partial_r\right) \frac{u}{r^\alpha} &= \partial_r \left(\frac{u'}{r^\alpha} - \frac{\alpha u}{r^{\alpha+1}}\right) + \frac{1}{r} \left(\frac{u'}{r^\alpha} - \frac{\alpha u}{r^{\alpha+1}}\right) \\ &= \frac{u''}{r^\alpha} - \frac{\alpha u'}{r^{\alpha+1}} - \frac{\alpha u'}{r^{\alpha+1}} + \frac{\alpha(\alpha+1)u}{r^{\alpha+2}} + \frac{u'}{r^{\alpha+1}} - \frac{\alpha u}{r^{\alpha+2}} \\ &= \frac{u''}{r^\alpha} + \frac{(1-2\alpha)u'}{r^{\alpha+1}} + \frac{\alpha^2 u}{r^{\alpha+2}}. \end{aligned} \quad (\text{L.9})$$

Man sieht sofort, dass die beiden letzten Terme nicht gleichzeitig verschwinden können für irgendeine Wahl von  $\alpha$ . Der Term proportional zu  $u'$  verschwindet jedoch mit  $\alpha = 1/2$ , d.h.  $R(r) = \frac{u(r)}{\sqrt{r}}$ , und wir finden

$$\Delta_r R(r) = \frac{u''}{\sqrt{r}} + \frac{u}{4r^{5/2}}. \quad (\text{L.10})$$

(c) Mit dem Ansatz  $R(r) = u(r)/\sqrt{r}$  findet man aus der Besselgleichung (5)

$$r^2 \left(\frac{u''}{\sqrt{r}} - \frac{1}{4r^2} \frac{u}{\sqrt{r}}\right) + (r^2 - \nu^2) \frac{u}{\sqrt{r}} = 0, \quad (\text{L.11})$$

$$\Leftrightarrow u'' + \left(1 - \frac{\nu^2 - 1/4}{r^2}\right)u = 0. \quad (\text{L.12})$$

Für grosse  $r$  vereinfacht sich die Gleichung zu  $u'' + u = 0$ , sodass die zwei unabhängigen Lösungen  $u^{(1)}(r \gg 1) \sim \cos(r + \phi_0)$  und  $u^{(2)}(r \gg 1) \sim \sin(r + \phi_0)$  mit einer beliebigen Phase  $\phi_0$  sind und somit  $R^{(1)}(r \gg 1) \sim \sin(r + \phi_0)/\sqrt{r}$  und  $R^{(2)}(r \gg 1) \sim \cos(r + \phi_0)/\sqrt{r}$ . Für die beiden unabhängigen Lösungen der Besselfunktionen erster und zweiter Art  $J_\nu(r)$  und  $Y_\nu(r)$  ist  $\phi_0 = -(2\nu + 1)\pi/4$  und somit  $J_\nu(r \gg 1) \sim \cos(r - \nu\pi/2 - \pi/4)/\sqrt{r}$  und  $Y_\nu(r \gg 1) \sim \sin(r - \nu\pi/2 - \pi/4)/\sqrt{r}$ .

### Übung 3. 2D Potentialtopf und marginal gebundene Zustände

- (a) Der Hamiltonoperator in 2D lässt sich einfach in Polarkoordinaten ausdrücken indem man den Laplaceoperator in Polarkoordinaten ausdrückt:

$$H = \frac{\mathbf{p}^2}{2m} + V(\mathbf{r}) = -\frac{\hbar^2}{2m}\Delta_{2D} + V(r) = -\frac{\hbar^2}{2m}\left(\partial_r^2 + \frac{1}{r}\partial_r + \frac{1}{r^2}\partial_\varphi^2\right) + V(r). \quad (\text{L.13})$$

Für die Schrödingergleichung  $H\psi(r, \varphi) = E\psi(r, \varphi)$  ist es hilfreich, einen Ansatz  $\psi(r, \varphi) = R_l(r)e^{il\varphi}$  zu wählen. Hierbei ist  $l \in \mathbb{Z}$ , damit die Periodizitätsbedingung  $\psi(r, \varphi + 2\pi) = \psi(r, \varphi)$  erfüllt ist. Für die radiale Wellenfunktion  $R_l(r)$  ergibt sich die Gleichung

$$\left(-\frac{\hbar^2}{2m}\left(\partial_r^2 + \frac{1}{r}\partial_r - \frac{l^2}{r^2}\right) - V_0\Theta(r_0 - r)\right)R_l(r) = ER_l(r). \quad (\text{L.14})$$

Für  $r < r_0$  finden wir

$$\left(\partial_r^2 + \frac{1}{r}\partial_r - \frac{l^2}{r^2} + \frac{2m}{\hbar^2}(V_0 + E)\right)R_l(r) = 0, \quad (\text{L.15})$$

was sich mit der Definition  $k = \sqrt{2m(V_0 + E)}/\hbar$ , sowie  $s = kr$  und  $R_l(r) = f_l(kr)$  schreiben lässt als

$$\left(s^2\partial_s^2 + s\partial_s + (s^2 - l^2)\right)f_l(s) = 0, \quad (\text{L.16})$$

Dies ist die Bessel-Gleichung, so dass sich die allgemeine Lösung als Linearkombination aus Bessel-Funktionen erster und zweiter Art darstellen lässt,  $f_l(s) = a_l J_l(s) + b_l Y_l(s)$ . Da die Wellenfunktion bei  $s = 0$  regulär sein muss und die Bessel-Funktionen zweiter Art  $Y_l(s)$  für  $s \rightarrow 0$  divergieren, gilt  $b_l = 0$ . Somit finden wir für  $r < r_0$  die Lösung  $R_l(r) = a_l J_l(kr)$ . Analog finden wir für  $r > r_0$

$$\left(\partial_r^2 + \frac{1}{r}\partial_r - \frac{l^2}{r^2} + \frac{2mE}{\hbar^2}\right)R_l(r) = 0, \quad (\text{L.17})$$

woraus sich mit  $\alpha = \sqrt{2m(-E)}/\hbar$  und der Definition  $\tilde{s} = \alpha r$  sowie  $R_l(r) = \tilde{f}_l(\alpha r)$  die Gleichung

$$\left(\tilde{s}^2\partial_{\tilde{s}}^2 + \tilde{s}\partial_{\tilde{s}} - (\tilde{s}^2 + l^2)\right)\tilde{f}_l(\tilde{s}) = 0 \quad (\text{L.18})$$

ergibt, welche der modifizierten Bessel-Gleichung entspricht. Somit ist die allgemeine Lösung eine Linearkombination der modifizierten Besselfunktionen  $I_l(\tilde{s})$  und  $K_l(\tilde{s})$  ist,  $\tilde{f}_l(\tilde{s}) = c_l K_l(\tilde{s}) + d_l I_l(\tilde{s})$ . Da  $I_l(\tilde{s})$  für  $\tilde{s} \rightarrow \infty$  divergiert und die Wellenfunktion endlich bleiben muss folgt  $d_l = 0$  und somit finden wir die allgemeine Lösung

$$R_l(r) = \begin{cases} a_l J_l(kr), & r < r_0, \\ c_l K_l(\alpha r), & r > r_0. \end{cases} \quad (\text{L.19})$$

Die Wellenfunktion  $R_l(r)$  sowie die Ableitung  $R_l'(r)$  müssen Stetigkeitsbedingungen bei  $r = r_0$  erfüllen, woraus die beiden Bedingungen

$$a_l J_l(kr_0) = c_l K_l(\alpha r_0) \quad (\text{L.20})$$

$$a_l k J_l'(kr_0) = c_l \alpha K_l'(\alpha r_0) \quad (\text{L.21})$$

folgen. Division der beiden Bedingungen eliminiert die Koeffizienten und wir finden die transzendente Gleichung

$$k \frac{J_l'(kr_0)}{J_l(kr_0)} = \alpha \frac{K_l'(\alpha r_0)}{K_l(\alpha r_0)}, \quad (\text{L.22})$$

welche die Energie der gebundenen Zustände bestimmt.

- (b) Mithilfe der dimensionslosen Grösse  $\xi_0 = \sqrt{2mV_0}r_0/\hbar$  sowie  $\epsilon = E/V_0$  lässt sich die transzendente Gleichung schreiben als

$$\sqrt{1+\epsilon} \frac{J'_l(\xi_0\sqrt{1+\epsilon})}{J_l(\xi_0\sqrt{1+\epsilon})} = \sqrt{-\epsilon} \frac{K'_l(\xi_0\sqrt{-\epsilon})}{K_l(\xi_0\sqrt{-\epsilon})}. \quad (\text{L.23})$$

Die Gleichung lässt sich numerisch lösen und liefert das Spektrum der gebundenen Zustände für  $-1 < \epsilon < 0$  als Funktion der dimensionslosen Potentialstärke  $\xi_0$ , siehe Abbildung.

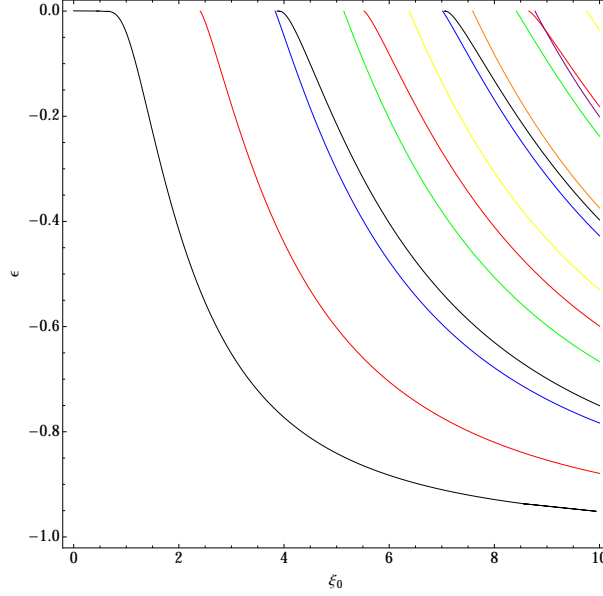


Abbildung 1: Die Energien der gebundenen Zustände  $\epsilon_l = E_l/V_0$  als Funktion von  $\xi_0$  mit  $\epsilon_0$  (schwarz),  $\epsilon_1$  (rot),  $\epsilon_2$  (blau),  $\epsilon_3$  (grün),  $\epsilon_4$  (gelb),  $\epsilon_5$  (orange) und  $\epsilon_6$  (violett).

Aus dem Spektrum erkennen wir insbesondere, dass es für beliebig kleine  $\xi_0$  einen gebundenen Zustand für  $l = 0$  gibt.

- (c) Mithilfe der Asymptotik der Besselfunktionen,  $J_0(x) \approx 1 - x^2/4$  und  $K_0(x) \approx -\ln x$  für  $x \approx 0$ , sowie  $J'_0(x) \approx -x/2$  und  $K'_0(x) \approx -1/x$  folgt für  $\xi_0 \ll 1$  die transzendente Gleichung

$$\sqrt{1+\epsilon} \frac{-\xi_0\sqrt{1+\epsilon}/2}{1 - \xi_0^2(1+\epsilon)/4} = \sqrt{-\epsilon} \frac{-1/(\xi_0\sqrt{-\epsilon})}{-\ln(\xi_0\sqrt{-\epsilon})} \quad (\text{L.24})$$

$$\Leftrightarrow \ln(\xi_0\sqrt{-\epsilon}) = -\frac{1 - \xi_0^2(1+\epsilon)/4}{\xi_0^2(1+\epsilon)/2} \approx -\frac{1}{\xi_0^2(1+\epsilon)/2} \quad (\text{L.25})$$

$$\Leftrightarrow \epsilon \approx -\frac{1}{\xi_0^2} e^{-4/[\xi_0^2(1+\epsilon)]}. \quad (\text{L.26})$$

Im letzten Ausdruck sehen wir, dass für  $\xi_0 \rightarrow 0$  die rechte Seite der Gleichung gegen 0 geht, sodass  $\epsilon \rightarrow 0$ . Somit können wir  $\epsilon \ll 1$  für die rechte Seite benutzen und erhalten  $\epsilon \approx -\frac{1}{\xi_0^2} e^{-4/\xi_0^2}$  und somit

$$E \approx -\frac{V_0}{\xi_0^2} e^{-4/\xi_0^2}. \quad (\text{L.27})$$

Der gebundene Zustand ist für  $\xi_0 \rightarrow 0$  nur exponentiell schwach gebunden, weshalb er auch als marginal bezeichnet wird.